

## مقایسه عصاره‌های اسپرولینا (آرتروسپیرا) و کلرلا از نظر میزان جذب اشعه ماوراءبنفس و اثر آنتیاکسیدانی

فاطمه نجفی<sup>۱</sup> (M.Sc)، طاهره حسین‌آبادی<sup>۲</sup> (Ph.D)، مریم تبرزد<sup>۳\*</sup> (Ph.D)

۱- گروه بیوتکنولوژی میکروبی، دانشکده علوم پایه و فن آوری‌های نوین زیستی، دانشگاه علم و فرهنگ، تهران، ایران

۲- گروه فارماکوگنوزی، دانشکده داروسازی، دانشگاه علوم پزشکی شهید بهشتی، تهران، ایران

۳- گروه بیوتکنولوژی دارویی، مرکز تحقیقات فن آوری پرتوئین، دانشگاه علوم پزشکی شهید بهشتی، تهران، ایران

تاریخ دریافت: ۱۷/۰۲/۱۴۰۲ | تاریخ پذیرش: ۱۱/۰۶/۱۴۰۲

m\_tabarzad@sbmu.ac.ir

\* نویسنده مسئول، تلفن: ۰۲۱۸۸۶۴۸۱۲۴

### چکیده

هدف: ریزجلبک‌ها به عنوان منبع خوبی از ترکیبات محافظتی در برابر تابش ماوراءبنفس، مانند اسیدهای آمینه شبه مایکروسپورین (MAAs)، کاروتونوئیدها و پلیفنل‌ها مورد تأیید قرار گرفته‌اند. اسپرولینا (آرتروسپیرا) و کلرلا در بازار مراقبت از پوست به عنوان محصولات طبیعی قابل دسترس مورد توجه می‌باشند.

مواد و روش‌ها: در این مطالعه، از پودر خشک ریزجلبک‌های کلرلا و لگاریس و آرتروسپیرا پلاتنسیس، عصاره‌های مختلف تهییه شد. تخلیص نسبی ترکیبات MAA انجام شد. ترکیبات استخراجی با کروماتوگرافی مایع با کارآبی بالا (HPLC) و طیف‌سنجی جرمی بررسی و میزان جذب اشعه Ultraviolet (UV) نمونه‌ها در محدوده UV-A (315–400 nm) و UV-B (280–315 nm) با روش اسپکتروفوتومتری اندازه‌گیری شد. میزان تام پروتئین موجود در عصاره‌ها و اثر آنتیاکسیدانی آن‌ها بررسی شد.

یافته‌ها: در نمونه‌های استخراج شده با متانول درصد بالاتری از ترکیباتی با ویژگی‌های مشابه با اسیدآمینه‌های شبه مایکروسپورینی مشاهده شد که اثر آنتیاکسیدانی قابل ملاحظه‌ای نیز داشتند. در طیف‌سنجی جرمی، دو پیک عمده با جرم مولکولی معادل ۳۴۴ m/z و ۸۸۷ شناسایی شدند. نمونه‌های استخراج شده از هر دو ریزجلبک با متانول ۵۰ و ۱۰۰٪ تعداد بیشتری از ترکیبات دارای جذب در محدوده UV-A و UV-B نشان دادند. به‌طور کلی، استخراج ترکیبات جاذب UV از ریزجلبک کلرلا و لگاریس و آرتروسپیرا پلاتنسیس با متانول بازده را افزایش داد.

نتیجه‌گیری: با توجه به اثرات متفاوت ترکیبات استخراجی در نمونه‌های مختلف استفاده هم‌زمان از آن‌ها به عنوان ترکیبات طبیعی در تهییه فراورده‌های ضد آفتاب می‌تواند در دستیابی به یک فراورده کارآمد مؤثر باشد.

واژه‌های کلیدی: آنتیاکسیدان، اشعه ماوراءبنفس، ریزجلبک، آرتروسپیرا پلاتنسیس، کلرلا و لگاریس

Species, ROS) بکاهند [۲]. ا نوع موجودات زنده از جمله پروکاریوت‌ها و یوکاریوت‌ها قادرند با تولید ترکیبات جاذب اشعه ماوراء بنفس از خود در برابر اشعه مضر UV محافظت کنند [۳]. استفاده از عصاره‌های استخراجی از منابع گیاهی در کاهش آسیب ناشی از تابش‌های مختلف، مانند اثر حفاظت پرتویی عصاره چای سبز در برابر تابش پرتوهای گاما [۴] گزارش شده است.

جلبک‌ها طیف وسیعی از موجودات را از گروه‌های مختلف فیلوزنیک با حدود سی هزار گونه تشکیل می‌دهند. به طور کلی، این دسته از ارگانیسم‌ها به دو گروه درشت‌جلبک پرسلولی و ریزجلبک تکسلولی (جلبک‌های میکروسکوپی)

### مقدمه

تابش فرابنفش، بخشی از طیف الکترومغناطیس خورشید با بازه ۲۰۰ تا ۴۰۰ نانومتر می‌باشد که عامل محیطی خطرناک برای موجودات زنده درنظر گرفته می‌شود [۱]. با توجه به اثرات جانبی احتمالی استفاده از ضدآفتاب‌های فیزیکی و شیمیایی، می‌توان از عصاره‌های گیاهی به عنوان جاذب پرتوهای Ultraviolet (UV) در تولید فراورده‌های ضدآفتاب طبیعی استفاده و از مشکلات ناشی از ضدآفتاب‌های شیمیایی پیشگیری کرد. پرتوهای خورشید به خصوص UVB قادرند از عمر سلول‌های اساسی بدن از جمله پوست، به طور مستقیم و یا با ایجاد گونه‌های فعال اکسیژن (Reactive Oxygen

تعداد زیادی از ریزجلبک‌های سبز-آبی جداسازی شده از منابع دریایی، خشکی یا آب تازه حاوی MAAها می‌باشد. اولین گزارش مربوط به تجمع مقادیر زیادی از MAAها در سیانوباکتر *Microcoleus* در سال ۱۹۶۹ بود. فردی به نام Shibata متوجه شد که عصاره سیانوباکتر در تاحیه فرابینفس باند جذبی پرقدرتی در طول موج ۳۲۲ نانومتر از خود نشان می‌دهد [۱۱]. این ترکیبات دسته‌ای از متابولیت‌های ثانویه نیتروژن‌دار، با وزن ملکولی پایین و کمتر از ۴۰۰ دالتون و محلول در آب هستند که توسط موجودات متنوعی به ویژه آن‌ها که در زیست بوم‌های دارای تابش شدید نور خورشید مانند دریا زندگی می‌کنند، تولید می‌شوند. خصوصیت بسیار قابل توجه اسیدآمینه‌های شبه مایکوسپورینی توانایی این ترکیبات در جذب تابش فرابینفس در محدوده آسیب‌رسان از طول موج ۳۰۹-۳۶۲ نانومتر می‌باشد که آن‌ها را به عنوان ترکیبات ضدآفتاب مورد توجه قرار داده است [۱۲].

سنتر اسیدآمینه‌های شبه مایکوسپورینی با نور UV، به خصوص UV-B به دلیل داشتن انرژی بالاتر نسبت به UV-A، افزایش می‌یابد. تابش UV تولید ROS را افزایش می‌دهد که خود باعث تحریک رن‌های تولیدکننده ترکیبات آنتی‌اکسیدانی شده و بیان این ترکیبات را افزایش می‌دهد [۴۸]. از دیگر عملکردهای اسیدآمینه‌های شبه مایکوسپورینی می‌توان به اثرات آنتی‌اکسیدانی، مقابله با فشار اسمزی، فشار خشکی و گرم‌آمارهای کرد [۱۳]. این خانواده شامل ۳۰ عضو، از جمله مایکوسپورین گلیسین (MGly)، پالیتین، پالیتینول، ستیرین ۳۳۰، پورفیرا ۳۳۴، شینورین و ... است که بیشترین فراوانی آن‌ها در گونه‌های ریزجلبکی است [۱۴].

در دسترس بودن تجاری MAAها هنوز بسیار محدود است. موانع موجود در تجاری‌سازی آن‌ها شامل دسترسی فصلی محدود به برخی مواد خام، به ویژه جلبک‌های دریایی و هزینه‌های بالای برداشت و غلظت سلولی پایین منابع، مانند ریزجلبک‌ها و سیانوباکتری‌ها است. علاوه بر این، روش‌های استخراج و خالص‌سازی فعلی برای MAAها اغلب به استفاده از حلال‌ها و همچنین سانتریفیوژ، تبخیر و سایر فرآیندهای پرهزینه نیاز دارند. سنتر شیمیایی این ترکیبات دشوار است، و تولید هترولوج با استفاده از باکتری و مخمر هنوز در حال توسعه است و برای تولید تجاری در دسترس نیست. بنابراین، تکنیک‌های جدید استخراج مانند فیلتراسیون غشایی راه حلی برای استخراج MAA از منابع در دسترس با هزینه کم است و می‌تواند به پر کردن شکاف موجود در بازار در توسعه فرمول‌های ضدآفتاب طبیعی کمک کند [۱۵].

طبقه‌بندی می‌شوند [۵]. استراتژی‌های مختلف مقاومت در برابر UV، اولین بار در سیانوباکتری‌ها کشف شد که از جمله آن‌ها ترکیبات جاذب UV مثل آمینواسیدهای شبه مایکوسپورینی (Mycosporine-like amino acids, MAAs) و کاروتوتئیدها در پوشش بیرونی سیانوباکتری‌ها است. اکثر سیانوباکتری‌ها در مکانیسم‌های تعمیر DNA، کارآمدی بالایی دارند [۶, ۷].

استفاده از ریزجلبک‌های سبز-آبی به عنوان منبع تولید ترکیبات فعال زیستی نسبت به دیگر منابع دارای مزایایی می‌باشد؛ از جمله این‌که می‌توان آن‌ها را در تمام طول سال کشت داد، استراتژی‌های تطابقی سریعی دارند و به همین دلیل می‌توانند در محیط‌های خشن دما زیاد یا کم، pH بالا یا پایین، غلظت نمکی زیاد، خشکی زنده بمانند، رشد سریعی دارند، متابولیت‌های ثانویه متنوع متعدد مفیدی تولید می‌کنند، کشت آن‌ها هیچ پیامد منفی بر امنیت غذایی و زیستی منطقه ندارد.

بنابراین، برای مصارف صنعتی بسیار با اهمیت هستند [۸].

چندین محصول مراقبت از پوست موجود در بازار جهت مصارف انسانی حاوی ریزجلبک‌ها هستند. به عنوان مثال، شرکت Soliance از یک گونه کامل *Arthrosphaera* استفاده می‌کند و یا محصولات مراقبت از پوست مشتق از گونه کلرلا وجود دارد. هم‌چنین، اسید آگورونیک یکی دیگر از مواد تشکیل‌دهنده محصولات مراقبت از پوست ضد پیری تهیه شده از ریزجلبک‌ها است که توسط شرکت Solazyme تولید می‌شود. تولید فرمولاسیون‌های کارآمد و مطمئن با هزینه ارزان‌تر با استفاده از عصاره اسپرولینا یا کلرلا در فرمولاسیون‌های آرایشی و بهداشتی امکان‌پذیر است. لوازم آرایشی ساخته شده از ریزجلبک‌ها می‌توانند جایگزین محصولات شیمیایی موجود شوند. ضمن آن که برای محیط زیست بی‌خطر هستند. سازمان غذا و داروی آمریکا

(U.S. Food and Drug Administration, FDA) عصاره آرتروسپیرا را به عنوان یک ماده "ایمن" تایید کرده است. البته تحقیقات بیشتری برای شناسایی و تأیید تمام اثرات فارماکولوژیک این دسته از عصاره‌ها ضروری است [۹]. عملکردهای آنتی‌اکسیدانی، ضد التهابی، ضد نوپلاستیک، کاهش چربی خون، ضد ویروسی، تعدیل‌کننده اینمی، ضد میکروبی، ضد آتروزینیک، ضد دیابت و محافظت در برابر تابش اشعه برای اسپرولینا مطرح شده است. علاوه بر این، تأثیر مثبت اسپرولینا بر چندین اندام از جمله مو، پوست، کبد، سیستم عصبی مرکزی، ریه و دستگاه ادراری تناسلی گزارش شده است [۱۰].

مخلوط و پس از ۱۰ دقیقه قرار گرفتن در دمای اتاق، در طول موج ۵۹۵ نانومتر توسط دستگاه اسپکتروفوتومتر بررسی شد. منحنی استاندارد رسم و نمونه‌های مجهول بر اساس آن تعیین مقدار شد. به دلیل رنگ نمونه‌ها، رقت‌سازی اولیه از هر نمونه تهیه شد. نمونه‌ها به صورت سه بار تکرار بررسی شدند.

**تخلیص** بیشتر برای خلوص نسبی MAA‌ها. عصاره‌های استخراجی درون بشره‌ای مجزا ریخته و به مدت ۲۴ ساعت زیر هود خشک شد. سپس، نمونه‌ها بسته به میزان انحلال در ۱ تا ۳ میلی لیتر آب دیونیزه حل شدند، به صورتی که محلول شفاف ایجاد شود. برخی نمونه‌ها که انحلال کمتری نشان دادند، به مدت ۳۰ دقیقه در دمای ۵۰ درجه سانتی‌گراد قرار داده شد. به یک میلی لیتر از هر نمونه، ۵۰۰ میکرو لیتر کلروفرم اضافه و به شدت ورتكس و سپس، با دور  $11000\text{ g}$  به مدت ۱۰ دقیقه در دمای ۱۵ درجه سانتی‌گراد سانتریفیوژ شدند. لایه رویی که محیط آبی و حاوی عصاره مورد نظر است با دقت به میکروتیوبی جدید و تمیز منتقل شد. در نهایت، نمونه‌ها توسط فیلتر سرسرنگی  $0.22\text{ }\mu\text{m}$  میکرون فیلتر شدند.

بررسی میزان MAA به روش کروماتوگرافی مایع با HPLC کارایی بالا. آنالیز نمونه‌ها توسط دستگاه Photo diode array detector (PDA) مجهز به آشکارساز (PDA) انجام شد. آنالیز بر روی نمونه‌های با تخلیص نسبی MAA و فیلتر شده انجام شد.  $100\text{ }\mu\text{L}$  از نمونه‌ها به ستون  $\text{C}_{18}$  با ابعاد  $25\times4/6\text{ mm}$  و قطر تخلخل  $5\text{ }\mu\text{m}$  تزریق شد. ستون با فاز متحرک شامل مخلوطی از استیک اسید  $0.2\%\text{ v/v}$ ، متانول و استونیتریل با نسبت حجمی به ترتیب  $80:10:10$  با سرعت جریان  $1\text{ mL}\cdot\text{min}^{-1}$  شست و شو داده شد. طول موج شناسایی nm روی  $330\text{ nm}$  و طول موج اسکن PDA بین  $200\text{ nm}$  تا  $800\text{ nm}$  و مدت زمان هر آنالیز ۱۵ دقیقه تنظیم شد. طیف UV نمونه‌ها جهت شناسایی پیک مواد دارای بیشینه جذب بین  $300-400\text{ nm}$  و سطح زیر منحنی پیک‌ها به عنوان معیاری از میزان و درصد استخراج MAA بررسی و آنالیز شد.

بررسی طیف سنجی جرمی نمونه نسبتاً خالص MAA برای انجام آنالیز LC/MASS LC/Mass محصول استخراجی،  $200\text{ }\mu\text{L}$  میکرولیتر از نمونه به دستگاه LC (Agilent 1200 series) دارای ستون  $(\text{C}_{18})$  با فاز متحرک مشابه روش HPLC تزریق و آنالیز با کمک روش طیف‌سنجی جرمی (Dستگاه Agilent 6410-Triple Quad) انجام شد. آنالیز به صورت یونیزاسیون مثبت اجرا و ثبت کروماتوگرام نمونه با کمک شناساگر طیف سنجی فرابینفش (UV detector) و جذب در طول موج  $320\text{ nm}$  انجام شد.

برای دستیابی به منبع مناسبی از ترکیبات جاذب UV، در این تحقیق بر آن شدیدم تا عصاره‌های هیدروالکلی مختلف استخراجی از گونه اسپیرولینا (آتروسپیرا) پلاتنسیس و کلرلا ولگاریس را از نظر توانایی جذب تابش ماوراءبنفس و اثر آنتی‌اکسیدانی به منظور توسعه یک محصول ضدآفات کارآمد مقایسه کنیم. حال مورد استفاده در استخراج MAA‌ها، یک حلal قطبی است که عموماً از آب و متانول برای این منظور استفاده می‌شود [۱۶]. در این مطالعه از حلal‌های آلی متفاوت با درصدهای مختلف استفاده شد تا اثر استفاده از سیستم‌های حلal متفاوت در استخراج از ریزجلبک‌ها بر تغییر در ترکیبات یا درصد ترکیبات استخراجی بررسی شود.

## مواد و روش‌ها

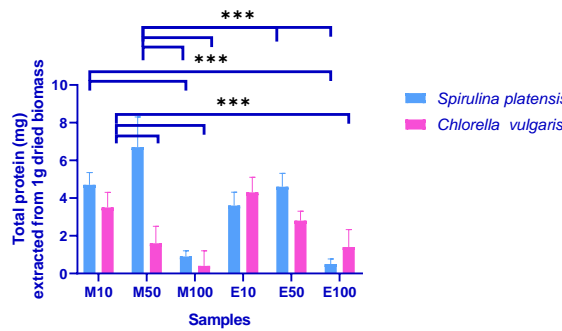
مواد و ارگانیسم‌ها. مواد شیمیایی مورد استفاده در این مطالعه با درجه خلوص شیمیایی analytical grade از شرکت مرک (آلمان) تهیه شد. پودر خشک ریزجلبک آتروسپیرا پلاتنسیس از بانک ریزجلبکی فارس تهیه شد. ریزجلبک کلرلا ولگاریس در آزمایشگاه کشت داده شد و پس از ۲۵ روز، توده ریستی جدا و به روش لیوفلیزاسیون خشک شد. این مطالعه توسط کمیته اخلاق دانشکده داروسازی، دانشگاه علوم پزشکی شهید بهشتی با کد IR.SBMU.PHARMACY.REC.1401.176 تأیید رسیده است.

تهیه عصاره با حلal‌های متفاوت. تهیه عصاره دو ریزجلبک آتروسپیرا پلاتنسیس و کلرلا ولگاریس از نمونه بود. آن‌ها با روش استخراج با حلal آلی انجام شد. حلal‌های مورد استفاده شامل متانول و متانول  $100\text{ }\mu\text{L}$  و  $50\text{ }\mu\text{L}$  بود. در دو سری مجزا، ۱ گرم از پودر هر نمونه جلبک توزین و  $50\text{ }\mu\text{l}$  میلی لیتر از هر کدام از حلal‌های ذکر شده به نمونه‌ها افزوده شد. سپس، نمونه‌ها با کمک همزن مغناطیسی به خوبی مخلوط شده و در نهایت، با کمک دستگاه هموژنایزر اولتراسونیک با قدرت  $200\text{ W}$  به مدت ۲۰ دقیقه استخراج انجام شد. در ادامه، نمونه‌ها به مدت ۲۴ ساعت در دمای محیط بر روی شیکر اوربیتال تحت اختلاط با دور  $200\text{ rpm}$  قرار گرفتند. در مرحله آخر، نمونه‌ها با دور  $8000\text{ g}$  و به مدت ۲۰ دقیقه در دمای  $15$  درجه سانتی‌گراد سانتریفیوژ شدند. مایع رویی جدا و با کاغذ واتمن شماره ۱ فیلتر گردید.

بررسی میزان تام پروتئین به روش برادفورد. غلظت تام پروتئین در محلول‌های استخراج شده، توسط تست برادفورد به کمک کیت مورد اندازه‌گیری قرار گرفت.  $20\text{ }\mu\text{L}$  میکرولیتر از نمونه‌ها (استاندارد و تست) با  $1\text{ }\mu\text{L}$  میلی لیتر از معرف برادفورد

جدول ۱- غلظت تام پروتئین در عصاره‌های مختلف/سپیروولینا پلاتنسیس (آرتروسپیرا/پلاتنسیس) و کلرلا ولگاریس استخراج شده با درصدهای مختلف حلال متابولی و اتانولی

مقدار کل پروتئین استخراجی (mg)	حلال	ریزجلبک
۴/۷ ± ۰/۶۵	% ۱۰	کلرلا ولگاریس
۶/۷ ± ۱/۶	% ۵۰	
۰/۹ ± ۰/۳	% ۱۰۰	
۳/۶ ± ۰/۷۱	% ۱۰	
۴/۶ ± ۰/۷۱	% ۵۰	
۰/۵ ± ۰/۲۷	% ۱۰۰	
۳/۵ ± ۰/۸	% ۱۰	آرتروسپیرا پلاتنسیس
۱/۶ ± ۰/۹	% ۵۰	
۰/۴ ± ۰/۰۸	% ۱۰۰	
۴/۳ ± ۰/۸	% ۱۰	
۲/۸ ± ۰/۵	% ۵۰	
۱/۴ ± ۰/۹۲	% ۱۰۰	



شکل ۱. مقایسه غلظت تام پروتئین در عصاره‌های مختلف/سپیروولینا پلاتنسیس (آرتروسپیرا/پلاتنسیس) و کلرلا ولگاریس استخراج شده با درصدهای مختلف حلال متابولی (M) و اتانولی (E)، اعداد نشان دهنده درصد اتانول یا متابول از آب است. \*\*\* نشان دهنده  $p\text{-value} \leq 0.0001$  است.

نتایج میزان MAA نمونه‌های استخراجی. میزان اسید آمینه‌های شبه مایکوپورینی استخراج شده در نمونه‌ها به روش HPLC فاز معکوس بر روی ستون C<sub>18</sub> آنالیز و نتایج بررسی طیف‌ها در جدول ۲ گزارش شده است.

درصد MAA استخراجی با توجه به سطح زیر منحنی پیک‌های دارای جذب در ۳۳۰ nm در مقایسه با سطح زیر منحنی کل پیک‌های مشاهده شده در طیف به دست آمد. با توجه به تفاوت ماهیت کلرلا و اسپیروولینا، حلال‌های مشابه نتایج مختلفی را ایجاد کردند. همان‌طور که در جدول مشاهده می‌شود، بیشترین درصد MAA استخراجی در کلرلا با حلال اتانول ۱٪ و اسپیروولینا با متابول ۱۰٪ مشاهده شده است. زمان بازداری ترکیبات اصلی استخراج شده در طیف، در محدوده ۴-۳min است که با توجه به ماهیت قطعی ترکیبات MAA مورد انتظار بود.

بررسی اثر آنتی‌اکسیدانی محصول و استخراج با تست DPPH (1,1-diphenyl-2-picryl-hydrayl) جهت اندازه‌گیری میزان فعالیت مهارکنندگی رادیکال‌ها از تست DPPH استفاده شد. با استفاده از میکرولیتر از غلظت‌های متفاوت از عصاره‌ها با حجم مساوی از محلول متابولی DPPH ترکیب شدند. از متابول و DPPH به عنوان کنترل منفی و از محلول آسکوربیک اسید (با غلظت ۱٪) و DPPH برای کنترل مثبت استفاده و برای هر عصاره یک بلانک فاقد محلول در نظر گرفته شد. مخلوط به مدت ۳۰ دقیقه در دمای اتاق و در تاریکی کامل انکوبه و سپس میکرولیتر توسط دستگاه الایزا ریدر در طول موج ۵۱۷ nm نانومتر بررسی شد. فعالیت مهاری رادیکال‌ها توسط ترکیب DPPH با فرمول زیر اندازه‌گیری می‌شود. در این فرمول Ac نشان‌دهنده جذب کنترل آزمایش (DPPH) و At نشان‌دهنده جذب نمونه و Ab نشان‌دهنده جذب بلانک می‌باشد.

$$\text{antioxidant effect} = \frac{1 - (At - Ab)}{Ac} \times 100$$

آنالیز آماری

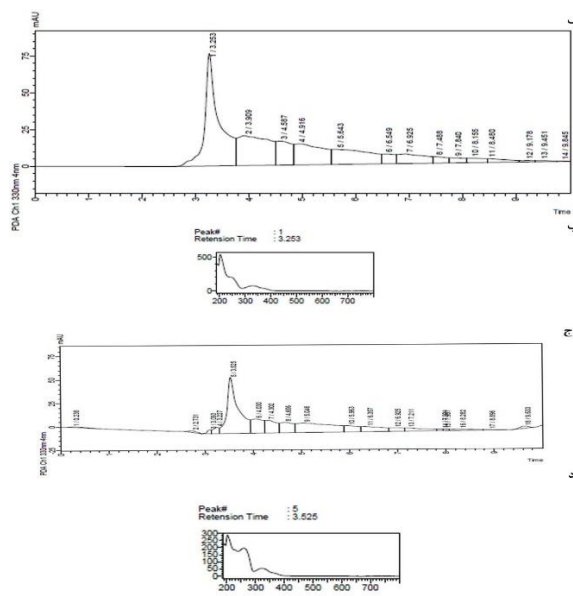
بررسی نمونه‌ها به صورت سه بار تکرار انجام شد. نتایج متوسط نرم‌افزار Excel 2016 آنالیز و به صورت Mean±SD محاسبه شد. مقایسه میانگین غلظت پروتئین و اثر آنتی‌اکسیدانی نمونه‌های مختلف استخراج با روش تحلیل واریانس IBM SPSS 21 و پس آزمون توکی در نرم‌افزار GraphPad Prism7 انجام شد.  $P \leq 0.05$  نشان‌دهنده اختلاف آماری معنی‌دار است. نمودارها به کمک نرم‌افزار GraphPad Prism7 رسم شد.

## نتایج

میزان تام پروتئین‌ها در کلرلا ولگاریس و آرتروسپیرا پلاتنسیس. مقدار پروتئین موجود در نمونه‌های استخراجی به روش برادفورد بررسی شد. تعیین مقدار پروتئین موجود در عصاره پیش از حذف پروتئین‌ها با کلروفرم انجام و بر اساس نمودار کالیبراسیون تهیه شده برای غلظت‌های استاندارد آلبومین سرم گاوی محاسبه شد (جدول ۱). بیشترین مقدار پروتئین در عصاره استخراج شده با نمونه‌های حاوی حداقل ۵۰٪ آب مشاهده شد.

مقایسه میزان پروتئین موجود در عصاره استخراجی نشان داد که اتانول و متابول ۰.۵٪ بیشترین میزان پروتئین را از توده زیستی آرتروسپیرا/پلاتنسیس و کلرلا ولگاریس استخراج کرده‌اند.

مصاحیه  $400-300\text{ nm}$  بود که به ترتیب، در زمان بازداری  $3/525$  و  $3/252$  دقیقه مشاهده شد (شکل ۳).



شكل ۳. نتایج HPLC محصول استخراجی MAA از نمونه استخراجی گونه/اسپیرولینا (آرتوسپیرا) پلاتسیس با حلال آبی متابول ۱۰ و ۱۰۰ درصد؛ الف: کروماتوگرام محصول استخراجی با متابول ۱۰٪، ب: طیف جذب UV پیک اصلی نمونه ۱۰٪، ترکیب اصلی در زمان بازداری ۳/۲۵۳ دقیقه دارای بیشینه جذب در ۳۳۰ nm است، چ: کروماتوگرام محصول استخراجی با متابول ۱۰۰٪، ب: طیف جذب UV پیک اصلی نمونه ۱۰٪، ترکیب اصلی در زمان بازداری ۳/۵۲۵ دقیقه دارای بیشینه جذب در ۳۳۰ nm است.

آنالیز HPLC محصول تخلیص نسبی استخراج با اتانول در *Chlorella vulgaris* MAA ها. درصدهای مختلف ترکیبات شاخصی با جذب بیشینه nm ۴۰۰-۳۰۰ نشان نداد. در نمونه اتانول ۱۰٪ پیک شاخص تقریباً هیچ جذب بیشینه‌ای در محدوده nm ۴۰۰-۳۰۰ نشان نداد. اما، ترکیب اصلی در نمونه‌های ۵۰ و ۱۰۰٪ جذب اندکی شناس دادند (شکل ۴).

در نمونه‌های استخراج شده با متانول، نیز متانول ۱۰٪ مازده خوبی نشان نداد. اما، متانول ۵۰ و ۱۰۰٪ دارای ترکیباتی با بیشینه جذب در ناحیه ۳۰۰-۴۰۰ nm بودند (شکل ۱۵).

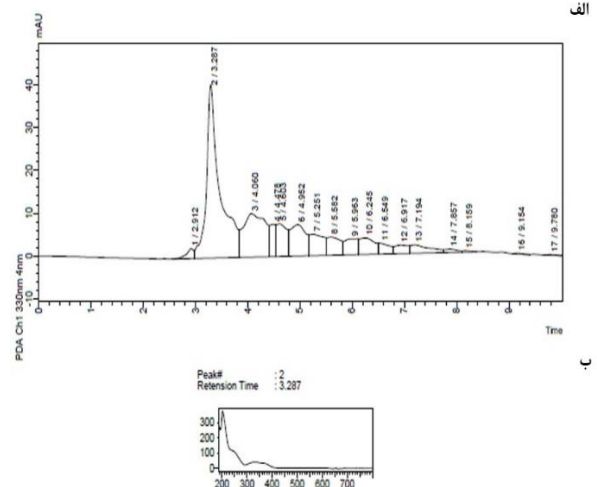
آنالیز LC-MS مخصوص تخلیص نسبی MMA ها از کلرلا  
زلگارسیس و آرتروسپیرا پلاتتسیس

با توجه به نتایج، محصول تخلیص نسبی MAA از نمونه Spirulina platensis و نمونه Chlorella vulgaris با حلال‌های آلی متابول ۱۰۰٪ توسط دستگاه MS-LC نیز رسید (شکا، ۶).

جرم شاخص با  $m/z$  ۳۴۴/۵  $[M+1]^{+1}$  در هر دو نمونه کلرلا و آرتروسپیرا مشاهده شد. با توجه به اینکه اکثر MAAهای گزارش شده تاکنون، دارای وزن مولکولی در

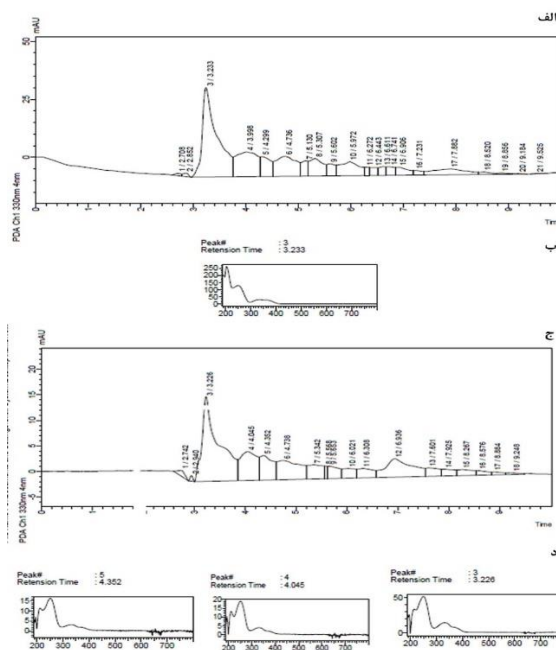
نتایج آنالیز HPLC عصاره های مختلف /سپرولینا پلاتنسیس (آرتروسپیرا پلاتنسیس) و کلرلا ولگاریس استخراج شده با درصد های مختلف حلال متابولی و اتانولی			
درصد اصلی پیک	زمان بازداری پیک اصلی با ماکریم جذب در ۳۳۰ nm (دقیقه)	نمونه استخراجی	ریزجلبک
۳۲	۳/۱۸۶	% ۱۰	اتانول
۴۰	۳/۲۸۷	% ۵۰	اتانول
۴۲/۵	۳/۲۴۸	% ۱۰۰	اتانول
۴۶	۳/۲۵۳	% ۱۰	متانول
۴۱	۳/۵۱۲	% ۵۰	متانول
۴۰	۳/۵۲۵	% ۱۰۰	متانول
<b>آرتروسپیرا پلاتنسیس</b>			
۳۸	۳/۵۱۹	% ۱۰	اتانول
۳۰	۳/۴۸۲	% ۵۰	اتانول
۳۳	۳/۵۷۴	% ۱۰۰	اتانول
۲۵/۵	۳/۶۵۳	% ۱۰	متانول
۳۲/۵	۳/۲۳۳	% ۵۰	متانول
۳۰	۳/۲۲۶	% ۱۰۰	متانول
<b>کلرلا ولگاریس</b>			
۲۲ ۲۵	۳/۵۱۲ و ۳/۲۱۰	% ۵۰	متانول
۳۶ ۱۴	۳/۹۹۲ و ۳/۴۹۰	% ۱۰۰	متانول
<b>مخلوط آرتروسپیرا و کلرلا</b>			

**آنالیز HPLC** محصول تخلیص نسبی MAA ها در میان نمونه های استخراج شده با *Spirulina platensis* اتانول، فقط نمونه اتانول ۵۰٪/، دارای ترکیبی با بیشینه جذب در ناحیه ۳۰۰-۴۰۰ nm بود که در زمان بازداری ۲/۲۸۷ دقیقه مشاهده شد (شکل ۲).

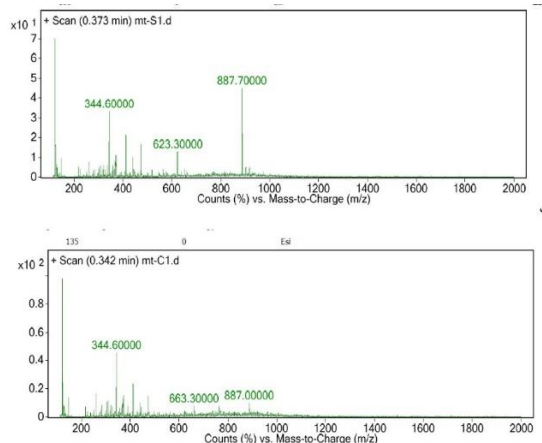


شکل ۲- نتایج HPLC محصول استخراج MAA از نمونه استخراجی گونه اسپیرولینا (آرتروسپیرا) پلاتنتسیس با حلal آلی اثانول ۵۰ درصد؛ الف: کروماتوگرام محصول استخراجی، ب: طیف جذب UV پیک اصلی، ترکیب اصلی در زمان بازداری ۳/۲۸۷ دقیقه دارای بیشینه جذب در nm است.

در نمونه‌های استخراج شده با درصد های متفاوت متانول، نمونه‌های ۱۰٪ و ۱۰۰٪ دارای ترکیباتی، با پیشینه جذب در



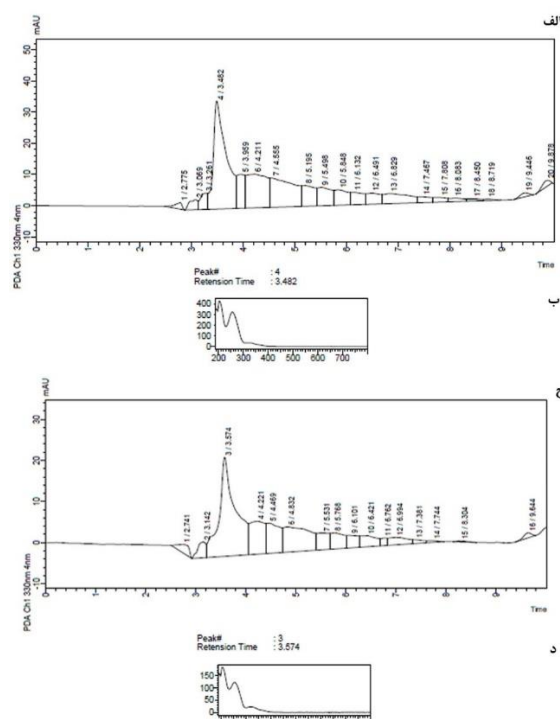
شکل ۵- نتایج HPLC محصول استخراج MAA از نمونه استخراجی گونه کلرا و لگاریس با حلآلی متانول ۵۰ و ۱۰۰ درصد؛ الف: کروماتوگرام محصول استخراجی با متانول ۵۰٪، ب: طیف جذب UV پیک اصلی نمونه ۱۰٪، ترکیب اصلی در زمان بازداری ۳/۲۳۳ دقیقه دارای بیشینه جذب در ۳۳۰ nm است، ج: کروماتوگرام محصول استخراجی با متانول ۱۰۰٪، ب: طیف جذب UV پیک اصلی نمونه ۱۰۰٪، ترکیب اصلی در زمان بازداری ۳/۲۲۶ دقیقه دارای بیشینه جذب در ۳۳۰ nm است. پیک‌های با زمان بازداری بیشینه نیز در ۴۰۴۵ و ۴۳۵۲ دقیقه نیز بیشینه جذب در ۳۳۰ nm نشان دادند.



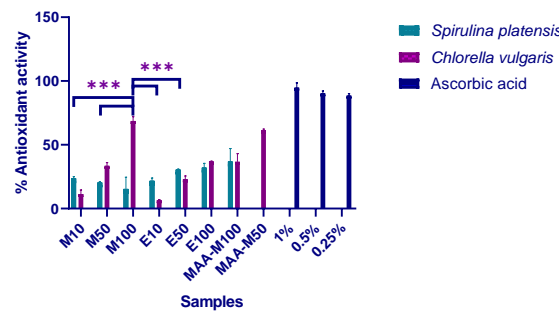
شکل ۶- کروماتوگرام LC-MS محصول استخراج MAA از نمونه *Arthrosphaera platensis* (الف) و نمونه *Chlorella vulgaris* (ب) با متانول ۱۰۰ درصد.

تعیین فعالیت آنتیاکسیدانی عصاره‌های آرتروسوپیرا پلانتسیس و کلرا و لگاریس. برای تعیین فعالیت آنتیاکسیدانی در این تحقیق از روش DPPH استفاده شد. همه اندازه‌گیری‌ها سه بار تکرار و میانگین آن‌ها ثبت گردید. DPPH (دیفنیل- پیکریل- هیدرازیل) یک رادیکال آزاد ناپایدار است که می‌تواند یک الکترون یا رادیکال هیدروژن دریافت کند و به حالت پایدار درآید. به علت وجود الکترون

محدوده ۲۰۰ تا ۴۰۰ دالتون هستند، پیک ۳۴۴ شناسایی شده می‌تواند شاخص آمینواسید شبه مایکوسپورینی گلایسین- والین باشد. در طیف جرمی نمونه آرتروسوپیرا جرم شاخص دیگری با  $m/z$  ۸۸۷/۶ مشاهده شد که احتمال می‌رود ترکیباتی دارای جرم مولکولی بالا که با شدت کمی در طیف مشاهده می‌شوند، استخلافی از MAA ها باشد که نیاز به بررسی ساختاری بیشتری برای شناسایی دقیق دارند. مشتقات گلیکوزیله MAA ها با وزن مولکولی بالا بین ۸۰۰ تا ۱۵۰۰ دالتون گزارش شده‌اند.

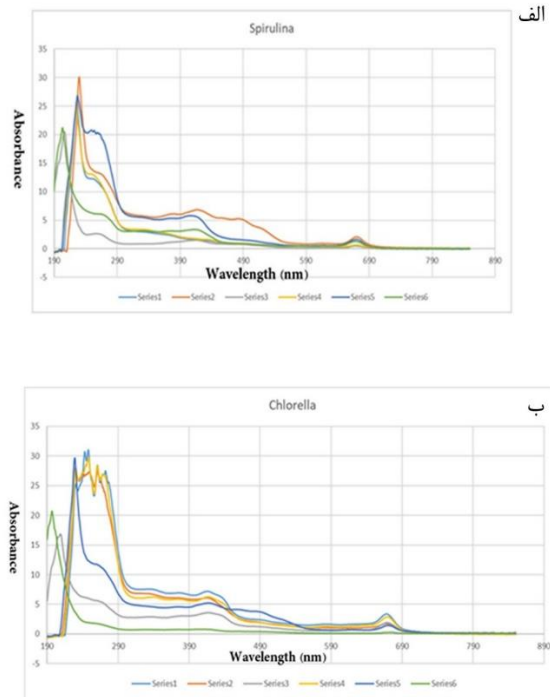


شکل ۴. بررسی HPLC محصول استخراج MAA از نمونه استخراجی گونه کلرا و لگاریس با حلآلی اتانول ۵۰ و ۱۰۰ درصد؛ الف: کروماتوگرام محصول استخراجی با اتانول ۵۰٪، ب: طیف جذب UV پیک اصلی نمونه ۱۰٪، ترکیب اصلی در زمان بازداری ۳/۴۸۲ دقیقه دارای بیشینه جذب در ۳۳۰ nm است، ج: کروماتوگرام محصول استخراجی با اتانول ۱۰۰٪، ب: طیف جذب UV پیک اصلی نمونه ۱۰۰٪، ترکیب اصلی در زمان بازداری ۳/۵۷۴ دقیقه دارای بیشینه جذب در ۳۳۰ nm است.



شکل ۷. مقایسه درصد فعالیت آنتی اکسیدانی عصاره های مختلف /سپیرولینا پلاتنسیس (آرتروسوپیرا پلاتنسیس) و کلرلا و لگاریس استخراج شده با درصد های مختلف حلال متانولی (M) و اتانولی (E) ، اعداد نشان دهنده درصد اتانول یا متانول در آب است. \*\*\* نشان دهنده  $p\text{-value} \leq 0.0001$  است. آسکوربیک اسید به عنوان کنترل مثبت بررسی شد.

بررسی میزان جذب UV-A و UV-B عصاره ها توسط دستگاه اسپکتروفوتومتری. نتایج میزان جذب اشعه UV-A در nm محدوده (۴۰۰-۳۲۰nm) و اشعه UV-B در محدوده (۳۲۰-۲۹۰nm) توسط عصاره ها در جدول ۴ گزارش شده است. نمودارهای طیف UV این عصاره ها در شکل ۹ مشاهده می شود (شکل ۸).



شکل ۸- طیف جذب UV در ناحیه ۱۹۰-۸۰۰ nm (الف) عصاره های اتانولی و متانولی /سپیرولینا (آرتروسوپیرا) پلاتنسیس (آبی ۱- اتانولی ۰٪، نارنجی ۲- اتانولی ۵٪، طوسی ۳- اتانولی ۱۰۰٪، زرد ۴- متانولی ۱۰٪، سرمه ای ۵- متانولی ۵٪ و سبز ۶- متانولی ۱۰٪)، (ب) عصاره های اتانولی و متانولی کلرلا و لگاریس (آبی ۱- اتانولی ۱۰٪، نارنجی ۲- اتانولی ۵٪، طوسی ۳- اتانولی ۱۰۰٪، زرد ۴- متانولی ۱۰٪، سرمه ای ۵- متانولی ۵٪ و سبز ۶- متانولی ۱۰٪). نمودارهای اتانولی و متابولی کلرلا و لگاریس (آبی ۱- اتانولی ۱۰٪، نارنجی ۲- اتانولی ۵٪، طوسی ۳- اتانولی ۱۰۰٪، زرد ۴- متانولی ۱۰٪، سرمه ای ۵- متانولی ۵٪ و سبز ۶- متانولی ۱۰٪).

منفرد در ساختمان DPPH، این رادیکال در طول موج ۵۱۷ نانومتر دارای جذب بیشینه می باشد و هر گاه در حضور یک ترکیب آنتی اکسیدانی با فعالیت پاک سازی رادیکال آزاد قرار گیرد، رنگ آن به سمت محدوده زرد و بی رنگ تغییر می یابد و کاهش جذب در طول موج ۵۱۷ نانومتر، بیانی از فعالیت آنتی اکسیدانی خواهد بود [۱۷].

نتایج حاصل از بررسی فعالیت آنتی اکسیدانی عصاره ها با روش احیای رادیکال آزاد DPPH عصاره های آرتروسوپیرا پلاتنسیس و کلرلا و لگاریس در حلال های آبی مختلف در جدول ۳ نشان داده شده است. در بین نمونه های آزمایش شده با حلال های متفاوت، نمونه کلرلا و لگاریس استخراج شده با متانول ۱۰۰٪ بدون تخلیص نسبی MAA و متانول ۵۰٪ پس از تخلیص نسبی MAA، به ترتیب بیشترین اثر آنتی اکسیدانی را نشان دادند. آسکوربیک اسید ۱٪ در آب به عنوان کنترل مثبت، اثر آنتی اکسیدانی حدود ۹۴٪ نشان داد.

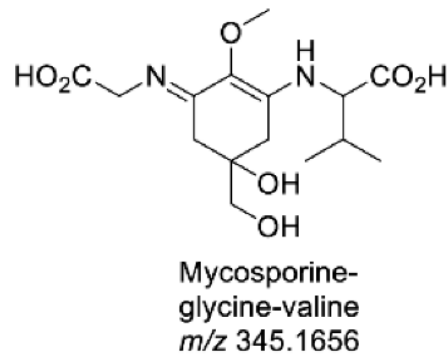
جدول ۳. درصد فعالیت آنتی اکسیدانی عصاره های مختلف /سپیرولینا پلاتنسیس (آرتروسوپیرا پلاتنسیس) و کلرلا و لگاریس استخراج شده با DPPH درصد های مختلف حلال متانولی و اتانولی بررسی شده با روش DPPH

نمونه	حلال استخراجی	درصد آنتی اکسیدانی
آرتروسوپیرا پلاتنسیس	م atanول ۱۰٪	۲۳/۷ ± ۱/۴
	م atanول ۵٪	۲۰/۴ ± ۰/۸
	م atanول ۱۰۰٪	۱۵/۴ ± ۹/۲
	م atanول (نمونه تخلیص نسبی MAA در آب)	۳۶/۸ ± ۱۰/۲
	اتanol ۱۰٪	۲۱/۸۴ ± ۲/۰
	اتanol ۵٪	۳۰/۰۹ ± ۰/۰
	اتanol ۱۰۰٪	۳۲/۰۳ ± ۳/۴
کلرلا و لگاریس	م atanول ۱۰٪	۱۱/۴ ± ۳/۱
	م atanول ۵٪	۳۳/۵ ± ۲/۰
	م atanول ۱۰۰٪	۶۸/۷ ± ۳/۴
	م atanول (نمونه تخلیص نسبی MAA در آب)	۶۱/۰۴ ± ۰/۹
	م atanول (نمونه تخلیص نسبی MAA در آب)	۳۶/۷ ± ۶/۳
	اتanol ۱۰٪	۶/۶ ± ۰/۴
	اتanol ۵٪	۲۲/۹ ± ۲/۷
کنترل مثبت	اتanol ۱۰۰٪	۳۶/۹ ± ۰/۳
	آسکوربیک اسید ۱٪	۹۴/۷۹ ± ۳/۸
	آسکوربیک اسید ۰.۵٪	۹۰/۲۹ ± ۱/۹
	آسکوربیک اسید ۰.۲۵٪	۸۸/۵۹ ± ۱/۰

مقایسه اثر آنتی اکسیدانی میان گروه های مختلف (شکل ۷) نشان داد که تفاوت اثر آنتی اکسیدانی عصاره م atanولی کلرلا و لگاریس با م atanول ۱۰۰٪ اختلاف آماری معنی داری با سایر محصولات استخراجی دارد ( $p\text{-value} < 0.0001$ ). نمونه تخلیص نسبی MAA از عصاره م atanولی کلرلا و لگاریس با م atanول ۵٪ نیز بیشترین اثر آنتی اکسیدانی را نشان داد.

وجود UVB که به سطح زمین می‌رسد تنها بخش کوچکی از کل UVB منتشر شده از خورشید را نشان می‌دهد و عمده‌تاً از طول موج‌های بالای ۲۹۰ نانومتر (UV-A) با یک جزء کوچک (تا ۱۰٪) از UV-B تشکیل شده است. بخش باقی‌مانده با طول موج کوتاه از طیف UV-B (۹۰٪) و کل UV-C عمولاً به استراتوسفر زمین نفوذ نمی‌کنند و طیف لایه ازن جذب می‌شوند. اشعه ماوراء بخش رسانیده به زمین به عنوان اصلی‌ترین عامل مضر محیطی برای موجودات زنده در نظر گرفته می‌شود. UVB به طیف گسترده‌ای از سیستم‌های بیولوژیکی آسیب می‌رساند زیرا امواج کوتاه با فرکانس‌های بالا بسیار پرانرژی هستند. علاوه بر این، از اوخر دهه ۱۹۷۰، کاهش تدریجی ازن و تغییرات در نفوذپذیری آن مشاهده شده است و این تغییرات به افزایش قابل توجه میزان UV-B در سطح زمین کمک کرده است [۲۰].

قرار گرفتن بوقت انسان به طور مداوم در معرض اشعه ماوراء بخش مضر (UVR)، باعث ایجاد تعدادی از اختلالات حاد و مزمن می‌شود. امروزه، از آنجا که استفاده از برخی فیلترهای شیمیایی بحث‌های زیادی را برانگیخته است، تحقیقات بر روی کشف ترکیبات طبیعی جاذب UV طبیعی، کاملاً این و بسیار کارآمد که می‌توانند به عنوان مواد فعال در محصولات مراقبت از آفات استفاده شوند، تمرکز دارد. یک جایگزین امیدوارکننده، استفاده از اسیدهای آمینه چند عملکردی شبه مایکوسپورینی (MAAs) است که می‌تواند به طور مؤثر با فیلترهای تجاری موجود رقابت کند. اخیراً اسیدهای آمینه شبه مایکوسپورین توجه تحقیقاتی فرایندهای را به خود جلب کرده‌اند. آن‌ها متعلق به خانواده‌ای از متabolیت‌های ثانویه هستند که توسط طیف گسترده‌ای از ارگانیسم‌های مختلف تولید می‌شوند، به ویژه آن‌هایی که در اکوسیستم‌هایی با غلظت بالای نور خورشید زندگی می‌کنند، مانند محیط‌های دریابی و آب شیرین. تاریخچه تحقیقات در مورد MAAها به اواخر دهه ۶۰ قرن گذشته بر می‌گردد. از زمان کشف MAAها، دانش‌های مرتبط به آن‌ها از جمله اطلاعات در مورد ساختار، خواص، عملکرد و توزیع آن‌ها به طور مداوم در حال توسعه است [۱]. اسید‌آمینه‌های شبه مایکوسپورینی، بیومولکول‌هایی با وزن مولکولی پایین و محلول در آب هستند، که نور UV را در محدوده ۳۶۰-۳۱۰ نانومتر جذب می‌کنند و در ارگانیسم‌های مختلفی، مانند سیانوبکترها پروکاریوت‌ها، یوکاریوت‌ها، قارچ، مخمر، جلبک‌ها، جلبک‌های دریابی و مرجان‌ها تولید می‌شوند. این ترکیبات تحت شرایط مختلف از جمله تغییرات دما، نور UV،



شکل ۹- ساختار شیمیایی و جرم مولکولی اسید آمینه شبه مایکوسپورینی گلیسین-والاریس

جدول ۴- مجموع جذب در ناحیه UVA و UVB در عصاره‌های مختلف اسپیرولینا پلاتنسیس (آتروسپیرا پلاتنسیس) و کلرلا ولگاریس استخراج شده با درصدهای مختلف حلال متابولی و اتانولی

نمونه‌ها	حلال استخراج	UV A محدوده جذبی 290-320 (nm)	UV B محدوده جذبی 320-400 (nm)
<i>Arthrosphaera platensis</i>	Ethanol 10%	۲۱۵/۳۹۶	۴۰۱/۶۱۴
	Ethanol 50%	۳۹۹/۶۷۶	۹۳۶/۶۱
	Ethanol 100%	۵۴۴/۴۴۴	۱۶۸/۴۰۵
	Methanol 10%	۲۲۶/۷۰۱	۴۴۶/۹۶۲
	Methanol 50%	۳۹۰/۹۴۷	۸۶۶/۰۷۴
	Methanol 100%	۷۰۱/۶۷۵	۱۲۷۱/۵۸۶
<i>Chlorella vulgaris</i>	Ethanol 10%	۵۴۲/۵۵۴	۱۱۳۵/۲۲۴
	Ethanol 50%	۴۸۴/۶۸۵	۱۰۰۹/۷۷۵
	Ethanol 100%	۱۷۵/۲۱۷	۴۷۳/۶۸
	Methanol 10%	۴۴۱/۶۳۵	۹۴۸/۹۵۳
	Methanol 50%	۳۲۵/۵۶۹	۷۳۵/۷۵۷
	Methanol 100%	۴۳/۱۷۴	۱۱۴/۹۵۸

همان‌طور که در جدول مشاهده می‌شود بالاترین میزان جذب در ناحیه UV-A و UV-B مربوط به عصاره آتروسپیرا پلاتنسیس استخراج شده با متابولی ۱۰۰٪ است. در میان عصاره‌های کلرلا ولگاریس، استخراج با اتانول ۱۰٪ نتایج بهتری را نشان می‌دهد.

## بحث و نتیجه‌گیری

استفاده از منابع طبیعی در تهییه محصولات موضعی دارویی جهت ترمیم آسیب‌های پوستی [۱۸] و همچنین، محصولات آرایشی و بهداشتی مانند ضد آفتاب‌ها مورد توجه ویژه‌ای قرار دارد [۱۹]. تابش فرابنفش (UVR) بخشی از طیف الکترومغناطیسی خورشیدی با طول موج ۲۰۰ تا ۴۰۰ نانومتر است. بر اساس خواص فیزیکی و فعالیت بیولوژیکی، UV-A به سه باند تقسیم می‌شود: UV-A (۴۰۰-۳۲۰ نانومتر)، UV-B (۳۲۰-۲۸۰ نانومتر) و UV-C (۲۸۰-۲۰۰ نانومتر). با این

با توجه به این‌که اکثر MAA‌های گزارش شده تا کنون، دارای وزن مولکولی در محدوده ۲۰۰ تا ۴۰۰ بودند، ترکیب شناسایی شده با پیک ۸۸۷ احتمالاً استخلافات جدیدی از MAA‌ها است و نیاز به بررسی ساختاری بیشتری برای شناسایی دقیق دارد. البته، مشتقان گلیکوزیله MAA‌ها با وزن مولکولی بالا قبلاً گزارش شده‌اند. گزارشی از آنالیز *Nostoc commune* نشان داد که عصاره حاوی MAA‌های هیبریدی (۱۰۵۰ و ۸۸۰ دالتون) با دو کروموفور مجزا از ۳-diaminocyclohexen-1-one و 2-O-( $\beta$ -xylopyranosyl)- $\beta$ -galactopyranoside است [۲۶]. گزارش دیگری از همین ارگانیسم که ترکیبی با وزن مولکولی ۱۰۵۰ دالتون با ساختار منحصر به فرد نشان می‌داد که شامل دو کروموفور مجزا از ۳-aminocyclohexen-1-one و 1-diaminocyclohexen,1-one بود [۲۷].

در بخشی دیگر از این مطالعه اثر آنتی‌اکسیدانی عصاره‌ها نیز بررسی شد. ترکیبات مختلف مشتق شده از منابع طبیعی ساکن دریا به عنوان آنتی‌اکسیدان قوی مورد تأیید قرار گرفته‌اند که شامل الیگوساکاریدها، پیتیدها، فلوروتان‌ها (Phlorotannins)، کاروتونئیدها و ویتامین‌ها هستند. جلبک‌های دریایی، یکی از منابع بالقوه آنتی‌اکسیدانی هستند [۲۸]. برای سنجش قدرت آنتی‌اکسیدانی عصاره‌های هیدروالکلی استخراجی با حلال‌های آلی مختلف از آرتروسپیرا/پلاتتسیس و کلرلا/ولگاریس از تست DPPH استفاده شد. آسکوربیک اسید به عنوان کنترل مثبت در نظر گرفته شد و قدرت آنتی‌اکسیدانی غلظت ۱٪ آسکوربیک اسید در آب حدود ۹۴٪ بدست آمد. نمونه کلرلا/ولگاریس و آرتروسپیرا/پلاتتسیس استخراج شده با حلال‌ای متابول مطلق و ۵٪ به ترتیب دارای بیشترین اثر آنتی‌اکسیدانی بودند. سایر نمونه‌ها هم اثر آنتی‌اکسیدانی نسبی نشان دادند. البته احتمال می‌رود بخشی از این اثرات آنتی‌اکسیدانی ممکن است ناشی از محتوای پیتیدی استخراج شده همراه با ترکیبات UV باشد. اثر آنتی‌اکسیدانی برای MAA‌های استخراجی و سایر ترکیبات موجود در سیانوباکترها و ریزجلبک‌ها در سایر مطالعات نیز گزارش شده است [۲۹، ۱۲، ۵]. به عنوان مثال، گروه تحقیقاتی در ایرلند با بررسی سیانوباکترهای دریایی محلی گزارش کردند که با توجه به محتوای خاص MAA و فعالیت‌های آنتی‌اکسیدانی، ریزجلبک *SABC021601* و *Leptolyngbya africana* از میان گونه‌های مورد بررسی بوده است [۳۰]. همچنین، نشان داده شده است که شینورین

تغییرات pH و غلظت‌های مختلف نمک، پایداری خود را حفظ می‌کنند [۱۱، ۲۱]. همچنین این ترکیبات به عنوان ترکیبات آنتی‌اکسیدانی مهم در جلبک قرمز توصیف شده و از عوامل حفاظت‌کننده در متابولیت‌ها دارای پتانسیل بالایی برای استفاده در ترکیبات حفاظت‌کننده پوست در فرمولاسیون‌های محافظتی هستند. جلبک‌های دریایی برای قرن‌ها به عنوان غذا و دارو استفاده می‌شوند. همچنین عصاره حاصل از جلبک‌ها نیز به عنوان افزودنی‌های ارگانیک در بسیاری از مواد غذایی، دارویی، لوازم آرایشی و صنعتی استفاده می‌شود. اقیانوس‌های جهان، که بیش از ۷۰٪ از سطح زمین را پوشش می‌دهند، می‌توانند یک منبع عظیم برای کشف عوامل درمانی بالقوه به حساب آیند [۲۲]. صنعت لوازم آرایشی و بهداشتی علاقه‌مند به استفاده از جلبک‌ها به عنوان منع مواد زیستی پایدار است، زیرا جلبک‌ها از نظر بیولوژیکی بسیار غنی هستند و ترکیبات فعال متعددی را سنتز می‌کنند که برخی از آن‌ها در حال حاضر به عنوان عوامل فعال در حفاظت و مراقبت از پوست شناخته شده‌اند [۲۳].

نتایج آنالیزهای انجام شده بر روی MAA‌ها در این تحقیق نشان داد که کلرلا/ولگاریس و آرتروسپیرا/پلاتتسیس توانایی تولید ترکیباتی با جذب بیشینه در طول موج حدود ۳۴۰ نانومتر را دارند. هر چند ترکیب اصلی جدایشده توسط عصاره‌گیری تمام این حلال‌های آلی مختلف، مازکزیم جذب‌هایی در طول موج‌های پایین‌تر (۲۷۰ و ۲۹۵ نانومتر) نیز نشان می‌دهد. میزان بازداری ترکیب اصلی استخراج شده، در ارزیابی HPLC، در حدود ۳ تا ۵ دقیقه مشاهده شد. با توجه به زمان بازداری، قطبیت نسبی این ترکیبات نسبت به فاز متحرک مورد استفاده بالاتر است. این ترکیبات محلول در آب و قطبی هستند، بنابراین، بیشتر اسیدآمینه‌های شبه‌مايكوسپورینی شناخته شده در زمان ۲ تا ۳ دقیقه اول آنالیز HPLC از ستون فاز معکوس C-18 خارج می‌شوند. استخلافات یا مشتقان غیرقطبی تر از دسته اسیدآمینه‌های شبه‌مايكوسپورینی در زمان بازداری بالای ۶ دقیقه هم گزارش شده‌اند [۲۴]. در آنالیز جرمی محصول استخراج، دو پیک عمده با جذب حدود ۳۲۰ نانومتر شناختی شده که به ترتیب زمان بازداری، دارای  $[H + M]^{+1}$  m/z معادل ۳۴۴ و ۸۸۷ بودند. پیک ۳۴۴ شباهت بیشتری با آمینواسید شبه‌مايكوسپورین گلایسین والین (شکل ۹) دارد که باید با مطالعات ساختاری بیشتری تأیید گردد.

داده شده بودند و هیچ گونه تغییری در محیط کشت و یا شرایط کشت برای دستیابی به مقادیر تقویت شده از ترکیبات جاذب UV، از جمله ترکیبات MAA، انجام نشده بود. با توجه به سایر مطالعات انجام شده، احتمال می‌رود که استفاده از کشت بهینه این ریزجلبک‌ها بتواند در دستیابی به منبع مطلوب تری از ترکیبات جاذب UV مؤثر واقع شود.

در مطالعات پیشین، قابلیت استفاده از *C.vulgaris* به عنوان یک ترکیب محافظ نور و تثبیت‌کننده نور ارزیابی شده بود. در یک مطالعه، شرایط مختلف کشت با غلظت‌های مختلف نیتروژن مورد ارزیابی قرار گرفته و نتایج بهتری در شرایط حاوی غلظت نور ۸/۸ میکرومولار نیتروژن گزارش شده بود. اضافه کردن این عصاره *C.vulgaris* در فرمولاسیون‌های ضدآفتاب با درصدهای ۱، ۵ و ۱۰ بررسی و اثر محافظت از نور فرمولاسیون و افزایش قابل توجهی در SPF هنگام استفاده از عصاره *C.vulgaris* به میزان ۱۰٪ تأیید شد، با این حال، این عصاره اثر تثبیت‌کننده نور را در هیچ یک از غلظت‌های آزمایش شده، نشان نداده است [۳۳]. مطالعه‌ای در سال ۲۰۲۰ نشان داد که ۷٪ (w/w) عصاره ریزجلبک اسپیروولینا در فرمولاسیون حاوی روغن زیتون: موم کندلیا به نسبت ۳۵:۷ دارای SPF خوب (۲۹/۰۶) است که در دسته‌بندی فوق العاده SPF قرار می‌گیرد و دارای امتیاز پایداری خوب (۱۷/۳۳ از ۲۰) است. البته تاکید این مطالعه بر فلاونوئیدهای استخراجی از اسپیروولینا بود [۳۴]. مطالعه دیگری نشان داد که عصاره اتانولی اسپیروولینا دارای فاکتور محافظتی بالاتری نسبت به سایر عصاره‌های مورد مطالعه بوده است (SPF ۱۱/۹۴±۰/۰۰). همچنین این عصاره نسبت به سایر عصاره‌ها میزان کربوهیدرات بیشتری (۲/۳۹±۰/۰۰۲) میلی‌گرم در میلی‌لیتر) داشت. هرچند عصاره آبی دارای بیشترین میزان فیکوبیلی پروتئین و راندمان استخراج در بین سایر عصاره‌های لیوفیلیز شده (۹۰٪) بوده است [۲].

استفاده از عصاره‌های بهینه به دست آمده از مطالعه حاضر در یک فرمولاسیون کامل ضد آفتاب باید مورد بررسی و بهینه‌سازی قرار گیرد. این موارد در مطالعات آتی مورد بررسی قرار خواهد گرفت. هدف نهایی مطالعات انجام شده و در دست انجام، دستیابی به یک فرآورده ضد آفتاب حاوی ترکیبی از عصاره ریزجلبکی مختلف به منظور بهره‌برداری از ویژگی‌ها و اثرات فارماکولوژیک متفاوت آن‌ها به صورت همزمان در یک فرآورده واحد می‌باشد.

بر اساس نتایج مطالعه حاضر، عصاره هیدروالکلی دو ریزجلبک آرتروسپیرا پلاتتسیس و کلرلا ولگاریس مورد بررسی دارای ترکیباتی هستند که توانایی جذب اشعه مضر

استخراج شده از Fischerella sp. اثرات آنتی‌اکسیدانی قابل ملاحظه‌ای دارد [۳۱].

اثر روش و حلال عصاره‌گیری بر کیفیت عصاره و فعالیت زیستی آن پیش از این نیز مورد مطالعه قرار گرفته است. استخراج ترکیبات فولی از جلبک اسپیروولینا با استفاده از دو روش اولتراسوند و خیساندن در ۳ حلال الكل (اتانول ۹۶٪) آب-الكل (اتانول ۵٪) و آب خالص بررسی شده و تاثیر روش‌های استخراج و غلظت عصاره بدست آمده از ریزجلبک اسپیروولینا پلاتتسیس بر محتوی فل کل و فعالیت آنتی‌اکسیدانی گزارش شده است. بالاترین مقادیر فتل کل در نمونه عصاره‌گیری شده با اتانول ۹۶٪ به روش خیساندن، و فلاونوئید، آنتوسیانین در نمونه عصاره‌گیری شده با اتانول ۹۶٪ به روش اولتراسوند، مشاهده شده بود. نویسنده‌گان نتیجه‌گیری کردند که استخراج حلال با استفاده از اولتراسوند، استخراج ترکیبات فراسودمند را افزایش داده و منجر به فعالیت آنتی‌اکسیدانی بالاتر شده است [۳۲].

در مطالعه حاضر پتانسیل جذب پرتوهای UV عصاره‌های تهیه شده از آرتروسپیرا پلاتتسیس و کلرلا ولگاریس، مورد مقایسه قرار گرفت. مطالعات بسیاری جهت به کارگیری مواد طبیعی جاذب پرتوهای UV در ضدآفتاب‌ها، در حال انجام می‌باشد و ریزجلبک‌ها یکی از ارگانیسم‌های طبیعی جاذب پرتوهای UV هستند. ریزجلبک اسپیروولینا (آرتروسپیرا) سیانوباکتری است که دارای ترکیبات جاذب پرتوهای UV، همچون فلاونوئیدها می‌باشد. فلاونوئیدها به دلیل توانایی جذب حداقل طول موج در محدوده پرتوهای UV و همچنین (Sun) به دلیل افزایش فاکتور محافظت‌کنندگی از پرتوهای UV Protection Factor, SPF UV طبیعی در ضدآفتاب را ایجاد می‌کنند [۲].

میزان جذب اشعه UV-A در محدوده ۴۰۰-۳۲۰ nm و اشعه UV-B در محدوده ۲۹۰-۳۲۰ nm عصاره کلرلا ولگاریس استخراج شده در حلال‌های ۱۰٪ اتانول و متانول، حداقل جذب در این ناحیه را نشان دادند و به ترتیب با افزایش درصد حلال متانول و اتانول، کاهش میزان جذب مشاهده شد. در عصاره آرتروسپیرا پلاتتسیس این روند معکوس مشاهده شد و نمونه استخراج شده با متانول ۵۰٪ و UV-B ۱۰۰٪ دارای طیف جذبی بالاتری در محدوده UV-A و UV-B بود. به‌طور کلی، نمونه آرتروسپیرا پلاتتسیس استخراج شده با متانول ۱۰۰٪ و نمونه کلرلا ولگاریس استخراج شده با اتانول ۱۰٪ دارای بیشترین میزان جذب در محدوده UV-A و UV-B (۴۰۰-۲۹۰ nm) بودند. در مطالعه حاضر، از گونه‌های بومی موجود استفاده شد که در شرایط معمول کشت

sun-induced skin damage. *Eur J Pharm Sci* 2017; 104: 52-64.

<https://doi.org/10.1016/j.ejps.2017.03.026>

PMid:28341613

[6] Naeemi AS, Sarmad J, Rahnama N, Fallah SF. Comparing the effects of different intensities of ultraviolet radiation on the green eukaryotic microalgae, Chlorella sp., and blue-green prokaryotic microalgae, Anabaena sp. *Aquatics Physiol Biotech* 2016; 4: 1-26.

[7] Rastogi RP, Sinha RP, Moh SH, Lee TK, Kottuparambil S, Kim Y-J, et al. Ultraviolet radiation and cyanobacteria. *J Photochem Photobiol B Biol* 2014; 141: 154-169.

<https://doi.org/10.1016/j.jphotobiol.2014.09.020>

PMid:25463663

[8] Blunt JW, Carroll AR, Copp BR, Davis RA, Keyzers RA, Prinsep MR. Marine natural products. *Nat Prod Rep* 2018; 35: 8-53.

<https://doi.org/10.1039/C7NP00052A>

PMid:29335692

[9] Gupta A, Singh AP, Singh VK, Singh PR, Jaiswal J, Kumari N, et al. Natural sun-screening compounds and DNA-repair enzymes: photoprotection and photoaging. *Catalysts* 2023; 13: 745.

<https://doi.org/10.3390/catal13040745>

[10] Ansari R, Foroughinia F, Dadbakhsh AH, Afsari F, Zarshenas MM. An overview of pharmacological and clinical aspects of spirulina. *Curr Drug Discov Technol* 2023; 20: 74-88.

<https://doi.org/10.2174/1570163820666221129141217>

PMid:36453480

[11] Jain S, Prajapat G, Abrar M, Ledwani L, Singh A, Agrawal A. Cyanobacteria as efficient producers of mycosporine-like amino acids. *J Basic Microbiol* 2017; 57: 715-727.

<https://doi.org/10.1002/jobm.201700044>

PMid:28543536

[12] Hartmann A, Murauer A, Ganzen M. Quantitative analysis of mycosporine-like amino acids in marine algae by capillary electrophoresis with diode-array detection. *J Pharm Biomed Anal* 2017; 138: 153-157.

<https://doi.org/10.1016/j.jpba.2017.01.053>

PMid:28213175 PMCid:PMC5388179

[13] Lawrence KP, Long PF, Young AR. Mycosporine-like amino acids for skin photoprotection. *Curr Med Chem* 2018; 25: 5512-5527.

<https://doi.org/10.2174/092986732466170529124237>

PMid:28554325 PMCid:PMC6446518

[14] Berthon JY, Nachat-Kappes R, Bey M, Cadoret JP, Renimel I, Filaire E. Marine algae as attractive source to skin care. *Free Radic Res* 2017; 51: 555-567.

<https://doi.org/10.1080/10715762.2017.1355550>

PMid:28770671

[15] Candelo V, Llewellyn CA. Separating and purifying mycosporine-like amino acids from cyanobacteria for application in commercial sunscreen formulations. *Bio Tech* 2023; 12: 16.

<https://doi.org/10.3390/biotech12010016>

PMid:36810443 PMCid:PMC9944071

[16] Fathi F, Hosseiniabadi T, Faraji A, Tabarzad M. Different sources of mycosporine-like amino acids: Natural, heterologous expression, and chemical synthesis/modifications. *Future Nat Prod* 2022; 8: 78-85.

[17] Sharma OP, Bhat TK. DPPH antioxidant assay revisited. *Food Chem* 2009; 113: 1202-1205.

<https://doi.org/10.1016/j.foodchem.2008.08.008>

[18] Talebpour Amiri F, Mirzaee F, Fadaee Heydarabadi P, Enayatifard R, Goli H, Shahani S. The effect of a topical ointment containing methanol extract of *Buxus hyrcana* Pojark. leaves on cutaneous wound healing in rats. *Koomesh* 2023; 25: 48-56. (Persian).

[19] Sabrina AP, Tania E, Nuryamah S, Yuniarish N. The potential of natural ingredients as sunscreen: A narrative literature review. *Indon J Medic Rev* 2022; 2: 237-241.

<https://doi.org/10.37275/oaijmr.v2i4.221>

[20] Wu H, Gao K, Villafañe Virginia E, Watanabe T, Helbling EW. Effects of solar UV radiation on morphology and photosynthesis of filamentous cyanobacterium *arthrospira platensis*. *Appl Environ Microbiol* 2005; 71: 5004-

ماوراء بنفس را دارند. این ترکیبات در عصاره دو ریزجلبک با یکدیگر متفاوت بوده و استفاده از سیستم‌های حلال متفاوت در استخراج می‌تواند باعث تغییر در ترکیبات و درصد ترکیبات استخراجی از منبع شود. با توجه به اثرات زیستی متفاوت انواع مختلف ترکیبات زیست فعل انتظار می‌رود که استفاده هم‌زمان از عصاره دو ریزجلبک آرتروسپیرا/پلاتسپیس و کلرلا ولگاریس بتواند باعث بهبود و تقویت اثر آنتی‌اکسیدانی و جذب اشعه UV شود. در مطالعات آتی، فرمولاسیون مناسبی برای ایجاد محصول ضدآفتاب و یا طراحی فرمولاسیون ضد آفتاب با نانوذرات تیتانیوم دی‌اکسید یا زینک اکسید بیوسنتر شده با عصاره این ریزجلبک‌ها مورد بررسی قرار خواهد گرفت.

## تشکر و قدردانی

این پژوهه با حمایت مالی دانشکده داروسازی شهید بهشتی (کد طرح: ۴۳۰۰۳۶۱۵) انجام شده است و در کمیته اخلاق دانشکده داروسازی شهید بهشتی مورد تأیید قرار گرفته است (کد اخلاق:

.(IR.SBMU.PHARMACY.REC.1401.176

## مشارکت و نقش نویسندها

نقش هر یک از نویسندها این مقاله به شرح زیر است: طاهره حسین‌آبادی و مریم تبرزد: ایده و طراحی مطالعه، فاطمه نجفی: جمع‌آوری داده‌ها، فاطمه نجفی و مریم تبرزد: آنالیز و تفسیر نتایج، مریم تبرزد و طاهره حسین‌آبادی: نگارش نسخه اول مقاله. همه نویسندها نتایج را بررسی نموده و نسخه نهایی مقاله را تایید نمودند.

## منابع

- [1] Chrapusta E, Kaminski A, Duchnik K, Bober B, Adamski M, Bialczyk J. Mycosporine-like amino acids: Potential health and beauty ingredients. *Mar Drugs* 2017; 15: 326. <https://doi.org/10.3390/md15100326>
- [2] Aslani L, Shabanpour B, Pourashouri P, Payamnoor V, Adeli A. Comparison of UV absorption potential and phycobiliproteins amount extracted with the help of solvent and ultrasound from (*Spirulina platensis*) microalgae. *Utiliz Cultiv Aquatics* 2021; 10: 81-96.
- [3] Gharib R, Tabarzad M, Hosseiniabadi T. Effect of high salinity on mycosporine-like amino acid production in *desmodesmus* sp. *Trends Pept Protein Sci* 2020; 5: 1-6 (e2).
- [4] Saber K, Majdaen M, Rahbar S, Elmtalab S, Zamani H, Abedi-Firouzjah R. Radiation protective effect of green tea extract in mice irradiated with gamma rays. *Koomesh* 2014; 23: 785-793. (Persian)
- [5] Souza C, Campos PM. Development and photoprotective effect of a sunscreen containing the antioxidants Spirulina and dimethylmethoxy chromanol on

<https://doi.org/10.1016/j.iphotobiol.2011.07.003>

PMid:21813286

[28] Ren S, Li J, Guan H. The antioxidant effects of complexes of tilapia fish skin collagen and different marine oligosaccharides. *J Ocean Univ China* 2010; 9: 399-407.

<https://doi.org/10.1007/s11802-010-1766-1>

[29] Taghavi Takyar MB, Haghigat Khajav S, Safari R. Evaluation of antioxidant properties of Chlorella vulgaris and Spirulina platensis and their application in order to extend the shelf life of rainbow trout (*Oncorhynchus mykiss*) fillets during refrigerated storage. *LWT Food Sci Technol* 2019; 100: 244-249.

<https://doi.org/10.1016/j.lwt.2018.10.079>

[30] Browne N, Otero P, Murray P, Saha SK. Rapid screening for mycosporine-like amino acids (MAAs) of irish marine cyanobacteria and their antioxidant potential. *Sustainability* 2023; 15: 3792.

<https://doi.org/10.3390/su15043792>

[31] Singh V, Pathak J, Pandey A, Ahmed H, Rajneesh, Kumar D, et al. UV-induced physiological changes and biochemical characterization of mycosporine-like amino acid in a rice-field cyanobacterium *Fischerella* sp. strain HKAR-13. *South Afr J Bot* 2022; 147: 81-97.

<https://doi.org/10.1016/j.sajb.2022.01.004>

[32] Baghizadeh Kohestani B, Goli M, Shahi S. The survey of bioactive compounds extraction from *Spirulina platensis* algae by ultrasound-assisted ethanolic maceration. *J Food Sci Technol* 2023; 20: 45-57. (Persian)

[33] Santos BBd. In vitro photoprotective attributes from the *Chlorella vulgaris* cultivated in photobioreactor [dissertation]. São Paulo: University of São Paulo, Faculdade de Ciências Farmacêuticas; 2022 [cited 2023-07-09].

[34] Dianursanti, Prakasa MB, Nugroho P. The effect of adding microalgae extract *Spirulina platensis* containing flavonoid in the formation of Sunscreen towards cream stability and SPF values. *AIP Conference Proceedings*; The 4th international tropical renewable energy conference (i-TREC 2019), Bali, Indonesia. AIP Publish LLC 2020; 2255

<https://doi.org/10.1063/5.0015249>

5013.

<https://doi.org/10.1128/AEM.71.9.5004-5013.2005>

PMid:16151080 PMCid:PMC1214621

[21] Rastogi RP, Madamwar D, Incharoensakdi A. Sunscreening bioactive compounds mycosporine-like amino acids in naturally occurring cyanobacterial biofilms: role in photoprotection. *J Appl Microbiol* 2015; 119: 753-762.

<https://doi.org/10.1111/jam.12879>

PMid:26099286

[22] Raja A, Vipin C, Aiyappan A. Biological importance of marine algae-an overview. *Int J Curr Microbiol Appl Sci* 2013; 2: 222-227.

[23] Guillerme J-B, Couteau C, Coiffard L. Applications for marine resources in cosmetics. *Cosmetics* 2017; 4: 35.

<https://doi.org/10.3390/cosmetics4030035>

[24] Roullier C, Chollet-Krugler M, Pferschy-Wenzig EM, Maillard A, Rechberger GN, Legouin-Gargadennec B, et al. Characterization and identification of mycosporines-like compounds in cyanolichens. Isolation of mycosporine hydroxyglutamicol from *Nephroma laevigatum* Ach. *Phytochemistry* 2011; 72: 1348-1357.

<https://doi.org/10.1016/j.phytocem.2011.04.002>

PMid:21550091

[25] Rosic NN. Mycosporine-like amino acids: making the foundation for organic personalised sunscreens. *Mar Drugs* 2019; 17: 638.

<https://doi.org/10.3390/md17110638>

PMid:31726795 PMCid:PMC6891770

[26] Nazifi E, Wada N, Asano T, Nishiuchi T, Iwamuro Y, Chinaka S, et al. Characterization of the chemical diversity of glycosylated mycosporine-like amino acids in the terrestrial cyanobacterium *Nostoc* commune. *J Photochem Photobiol B Biol* 2015; 142: 154-168.

<https://doi.org/10.1016/j.iphotobiol.2014.12.008>

PMid:25543549

[27] Matsui K, Nazifi E, Kunita S, Wada N, Matsugo S, Sakamoto T. Novel glycosylated mycosporine-like amino acids with radical scavenging activity from the cyanobacterium *Nostoc* commune. *J Photochem Photobiol B Biol* 2011; 105: 81-89.

# Comparison of *Spirulina* sp. (*Arthrospira* sp.) and *Chlorella* sp. Extracts Concerning the UV Absorption Values and Anti-Oxidant Activity

Fatemeh Najafli (M.Sc)<sup>1</sup>, Tahereh Hosseinabadi (Ph.D)<sup>2</sup>, Maryam Tabarzad (Ph.D)<sup>\*3</sup>

1- Department of Microbial Biotechnology, Faculty of Basic Sciences and Advanced Technologies in Biology, University of Science and Culture, Tehran, Iran

2 - Department of Pharmacognosy, School of Pharmacy, Shahid Beheshti University of Medical Sciences, Tehran, Iran

3- Protein Technology Research Center, Shahid Beheshti University of Medical Sciences, Tehran, Iran

\* Corresponding author. +98 21 88648124 m\_tabarzad@sbmu.ac.ir

Received: 7 May 2023; Accepted: 23 Aug 2023

**Introduction:** Microalgae have been approved as a good source of UV radiation protective compounds, such as mycosporin-like amino acids (MAAs), carotenoids and polyphenols. *Spirulina* (*Arthrospira*) and *Chlorella* gain much attraction in the skin care market as natural sources of available products.

**Materials and Methods:** In this study, different extracts were prepared from the dry powder of *Chlorella vulgaris* and *Arthrospira platensis*. Partial purification of MAA compounds was performed. The extracted compounds were analyzed by high-performance liquid chromatography (HPLC) and mass spectrometry and the sample's Ultraviolet (UV) absorption in the range of UV-A (400-315 nm) and UV-B (315-280 nm) was measured by spectrophotometric method. The total protein content of the extracts and their antioxidant effect were also analyzed.

**Results:** The samples extracted with methanol showed a higher percentage of compounds with similar characteristics to mycosporine-like amino acids, and had notable antioxidant activity. In mass spectrometry, two major peaks with a molecular mass equivalent to m/z 344 and 887 were identified. The samples extracted from both microalgae had more compounds with maximum absorption at the UV-A and UV-B range, with 50% and 100% methanol. In general, the methanol extraction of UV-absorbing compounds from both *C. vulgaris* and *A. platensis* led to an increase in the extraction yield.

**Conclusion:** According to the different features of samples, using a combination of them as natural sources for the preparation of sunscreens may be beneficial to make an efficient product.

**Keywords:** Antioxidants, Ultraviolet Rays, Microalgae, *Arthrospira platensis*, *Chlorella vulgaris*